

MICROZONAZIONE SISMICA

G.13 Sezioni geologico- Tecniche con indicazione zona MOPS Chiusi della Verna – Corsalone Scala 1:2.000

Regione Toscana

Comune di Chiusi della Verna (AR)

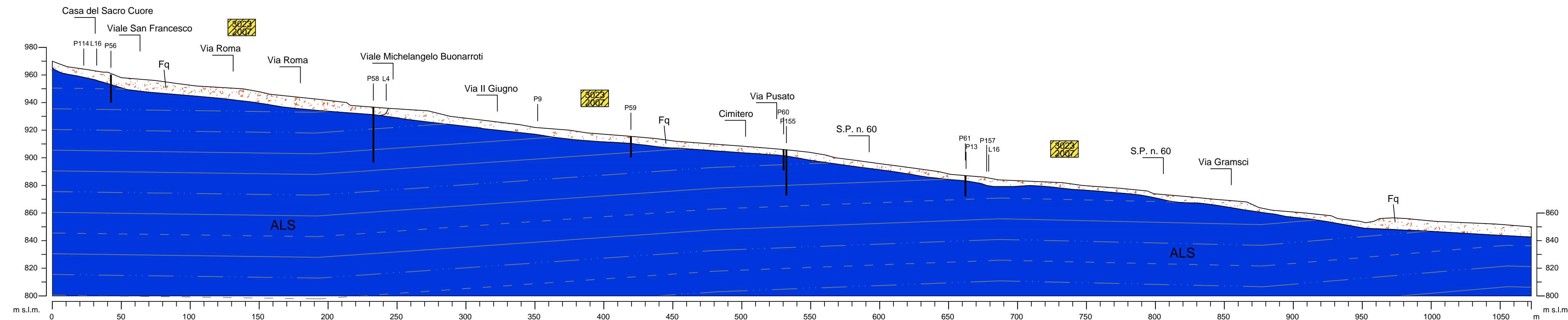


| Regione | Soggetto realizzatore: | Data |
|-----------------------------------|---|--------------|
| Regione Toscana - Settore Sismica | Comune di Chiusi della Verna/Service Assente del Territorio/SP Professionisti incaricati: Arch. Monica Lanini Dott. Geo. Enzo Nello Dott. Geo. Gabriele Guidotti Dott. Geo. Alessandro Nanni Dott. Geo. Cristian Piretti Dott. Geo. Francesco Pacelli | Ottobre 2022 |

SEZIONI GEOLOGICO-TECNICHE CON INDICAZIONE ZONE MOPS

Scala 1:2.000

Sezione E-E'



Instabilità di versante

Fa - Frana attiva
peso di volume
velocità onde S
velocità onde P
coefficiente di Poisson

$\gamma = 21.0 \text{ kN/mc}$
 $V_s = 245.0 \text{ m/s}$
 $V_p = 1100.0 \text{ m/s}$
 $\nu = 0.32$

Fq - Frana quiescente
peso di volume
velocità onde S
velocità onde P
coefficiente di Poisson

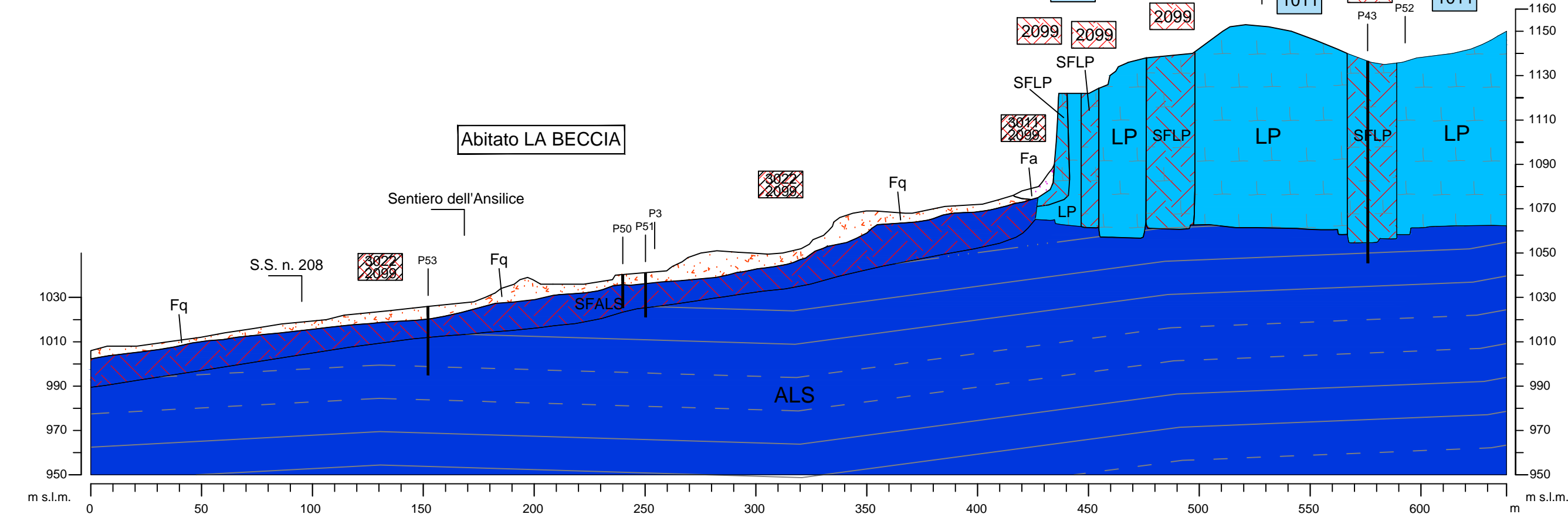
$\gamma = 19.5 \text{ kN/mc}$
 $V_s = 245.0 \text{ m/s}$
 $V_p = 555.0 \text{ m/s}$
 $\nu = 0.37$

Substrato geologico

ALS - Alternanza di litotipi, stratificato
peso di volume
velocità onde S
velocità onde P
coefficiente di Poisson

$\gamma = 21.0 \text{ kN/mc}$
 $V_s = 245.0 \text{ m/s}$
 $V_p = 1885.0 \text{ m/s}$
 $\nu = 0.33$

Sezione A-A'



Instabilità di versante

Fa - Frana attiva
peso di volume
velocità onde S
velocità onde P
coefficiente di Poisson

$\gamma = 21.0 \text{ kN/mc}$
 $V_s = 245.0 \text{ m/s}$
 $V_p = 1100.0 \text{ m/s}$
 $\nu = 0.32$

Fq - Frana quiescente
peso di volume
velocità onde S
velocità onde P
coefficiente di Poisson

$\gamma = 19.5 \text{ kN/mc}$
 $V_s = 245.0 \text{ m/s}$
 $V_p = 555.0 \text{ m/s}$
 $\nu = 0.37$

Substrato geologico

ALS - Alternanza di litotipi, stratificato
peso di volume
velocità onde S
velocità onde P
coefficiente di Poisson

$\gamma = 21.0 \text{ kN/mc}$
 $V_s = 1125.0 \text{ m/s}$
 $V_p = 2750.0 \text{ m/s}$
 $\nu = 0.33$

SFALS - Alternanza di litotipi, stratificato fratturato / alterato
peso di volume
velocità onde S
velocità onde P
coefficiente di Poisson

$\gamma = 20.5 \text{ kN/mc}$
 $V_s = 875.0 \text{ m/s}$
 $V_p = 1240.0 \text{ m/s}$
 $\nu = 0.34$

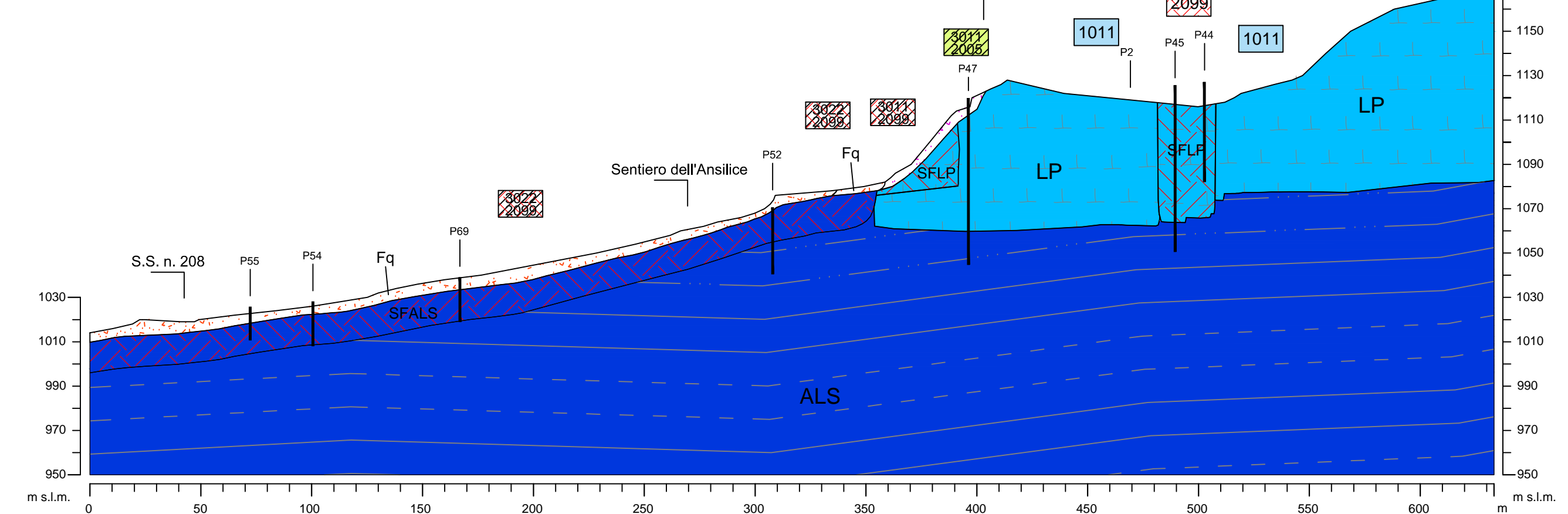
LP - Lapideo
peso di volume
velocità onde S
velocità onde P
coefficiente di Poisson

$\gamma = 26.0 \text{ kN/mc}$
 $V_s = 1125.0 \text{ m/s}$
 $V_p = 2750.0 \text{ m/s}$
 $\nu = 0.24$

SFLP - Lapideo fratturato / alterato
peso di volume
velocità onde S
velocità onde P
coefficiente di Poisson

$\gamma = 24.0 \text{ kN/mc}$
 $V_s = 875.0 \text{ m/s}$
 $V_p = 2300.0 \text{ m/s}$
 $\nu = 0.27$

Sezione B-B'



Instabilità di versante

Fa - Frana attiva
peso di volume
velocità onde S
velocità onde P
coefficiente di Poisson

$\gamma = 21.0 \text{ kN/mc}$
 $V_s = 245.0 \text{ m/s}$
 $V_p = 1100.0 \text{ m/s}$
 $\nu = 0.32$

Fq - Frana quiescente
peso di volume
velocità onde S
velocità onde P
coefficiente di Poisson

$\gamma = 19.5 \text{ kN/mc}$
 $V_s = 245.0 \text{ m/s}$
 $V_p = 555.0 \text{ m/s}$
 $\nu = 0.37$

Substrato geologico

ALS - Alternanza di litotipi, stratificato
peso di volume
velocità onde S
velocità onde P
coefficiente di Poisson

$\gamma = 21.0 \text{ kN/mc}$
 $V_s = 360.0 \text{ m/s}$
 $V_p = 1750.0 \text{ m/s}$
 $\nu = 0.33$

SFALS - Alternanza di litotipi, stratificato fratturato / alterato
peso di volume
velocità onde S
velocità onde P
coefficiente di Poisson

$\gamma = 20.5 \text{ kN/mc}$
 $V_s = 875.0 \text{ m/s}$
 $V_p = 1240.0 \text{ m/s}$
 $\nu = 0.34$

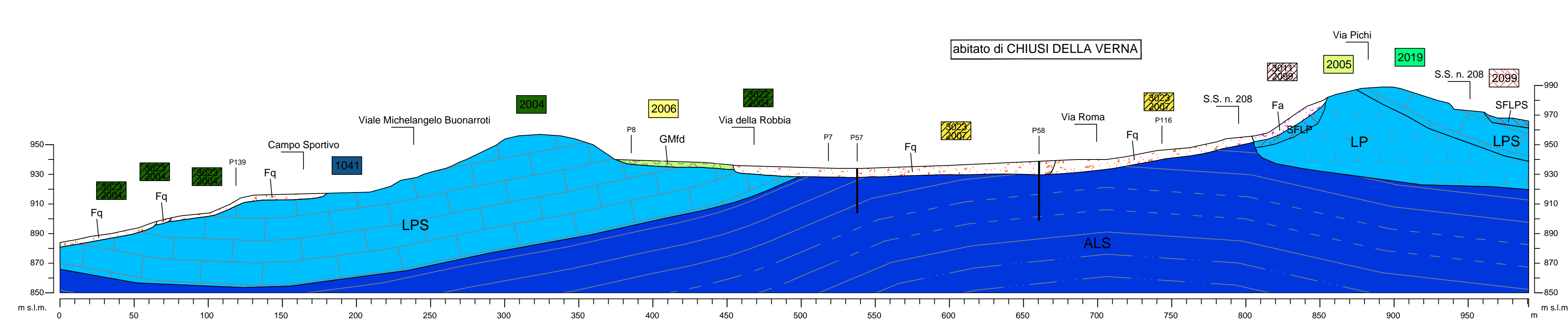
LP - Lapideo
peso di volume
velocità onde S
velocità onde P
coefficiente di Poisson

$\gamma = 26.0 \text{ kN/mc}$
 $V_s = 1125.0 \text{ m/s}$
 $V_p = 2750.0 \text{ m/s}$
 $\nu = 0.24$

SFLP - Lapideo fratturato / alterato
peso di volume
velocità onde S
velocità onde P
coefficiente di Poisson

$\gamma = 24.0 \text{ kN/mc}$
 $V_s = 875.0 \text{ m/s}$
 $V_p = 2300.0 \text{ m/s}$
 $\nu = 0.27$

Sezione C-C'



Instabilità di versante

Fa - Frana attiva
peso di volume
velocità onde S
velocità onde P
coefficiente di Poisson

$\gamma = 21.0 \text{ kN/mc}$
 $V_s = 245.0 \text{ m/s}$
 $V_p = 1100.0 \text{ m/s}$
 $\nu = 0.32$

Fq - Frana quiescente
peso di volume
velocità onde S
velocità onde P
coefficiente di Poisson

$\gamma = 19.5 \text{ kN/mc}$
 $V_s = 245.0 \text{ m/s}$
 $V_p = 555.0 \text{ m/s}$
 $\nu = 0.37$

Terreni di copertura

GM - Ghiaie limose, miscela di ghiaia, sabbia e limo
(depositi di versante)
peso di volume
velocità onde S
velocità onde P
coefficiente di Poisson

$\gamma = 20.0 \text{ kN/mc}$
 $V_s = 345.0 \text{ m/s}$
 $V_p = 660.0 \text{ m/s}$
 $\nu = 0.38$

Fq - Frana quiescente
peso di volume
velocità onde S
velocità onde P
coefficiente di Poisson

$\gamma = 19.5 \text{ kN/mc}$
 $V_s = 245.0 \text{ m/s}$
 $V_p = 555.0 \text{ m/s}$
 $\nu = 0.37$

Substrato geologico

ALS - Alternanza di litotipi, stratificato
peso di volume
velocità onde S
velocità onde P
coefficiente di Poisson

$\gamma = 21.0 \text{ kN/mc}$
 $V_s = 430.0 \text{ m/s}$
 $V_p = 1750.0 \text{ m/s}$
 $\nu = 0.33$

LP - Lapideo
peso di volume
velocità onde S
velocità onde P
coefficiente di Poisson

$\gamma = 26.0 \text{ kN/mc}$
 $V_s = 1125.0 \text{ m/s}$
 $V_p = 2750.0 \text{ m/s}$
 $\nu = 0.24$

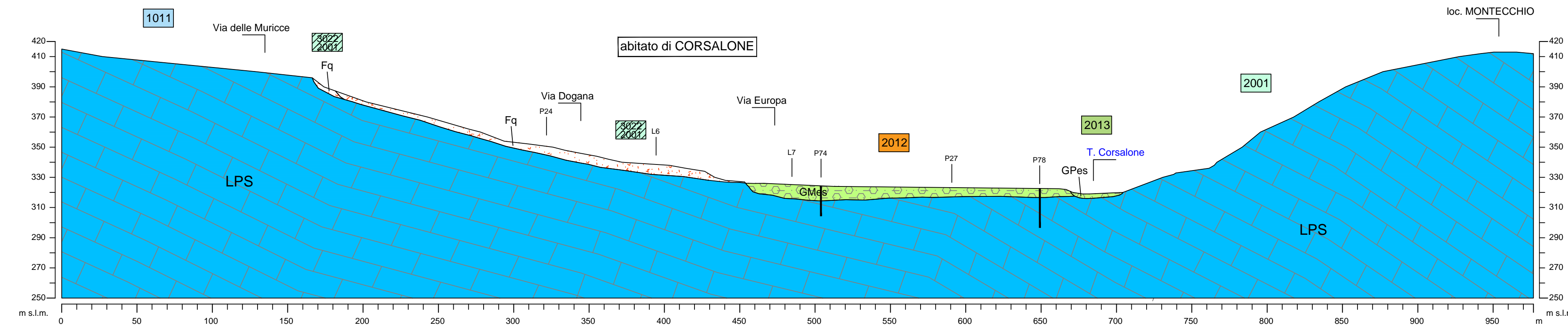
LPS - Lapideo, stratificato
peso di volume
velocità onde S
velocità onde P
coefficiente di Poisson

$\gamma = 22.5 \text{ kN/mc}$
 $V_s = 975.0 \text{ m/s}$
 $V_p = 2400.0 \text{ m/s}$
 $\nu = 0.30$

SFLPS - Lapideo, stratificato fratturato / alterato
peso di volume
velocità onde S
velocità onde P
coefficiente di Poisson

$\gamma = 22.5 \text{ kN/mc}$
 $V_s = 875.0 \text{ m/s}$
 $V_p = 1800.0 \text{ m/s}$
 $\nu = 0.30$

Sezione F-F'



Instabilità di versante

Fq - Frana quiescente
peso di volume
velocità onde S
velocità onde P
coefficiente di Poisson

$\gamma = 19.5 \text{ kN/mc}$
 $V_s = 245.0 \text{ m/s}$
 $V_p = 555.0 \text{ m/s}$
 $\nu = 0.37$

Terreni di copertura

GP - Ghiaie pulite con granulometria poco assortita, miscela di ghiaia e sabbia (depositi alluvionali)
peso di volume
velocità onde S
velocità onde P
coefficiente di Poisson

$\gamma = 20.0 \text{ kN/mc}$
 $V_s = 345.0 \text{ m/s}$
 $V_p = 660.0 \text{ m/s}$
 $\nu = 0.36$

GM - Ghiaie limose, miscela di ghiaia, sabbia e limo (depositi alluvionali)
peso di volume
velocità onde S
velocità onde P
coefficiente di Poisson

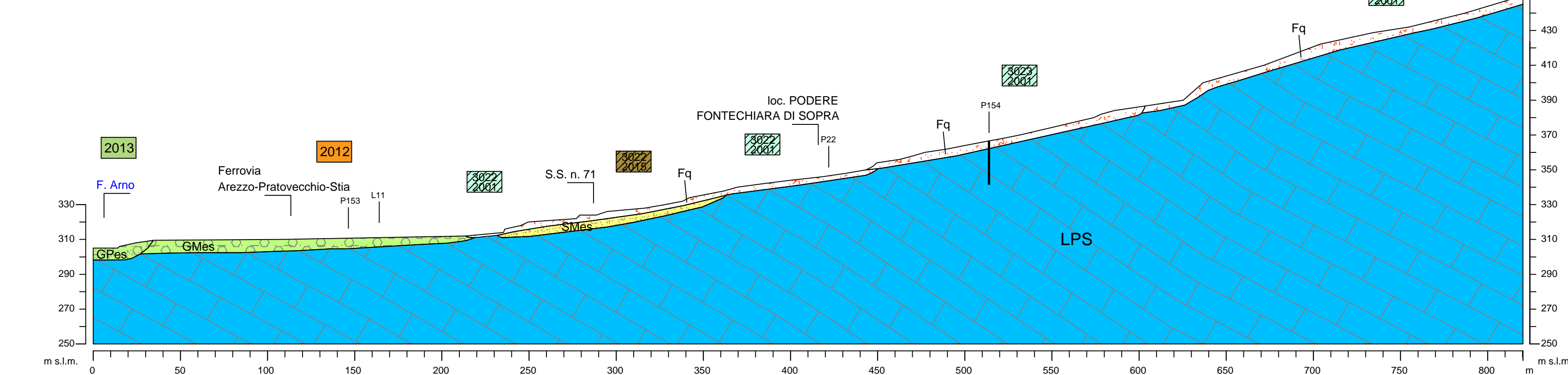
$\gamma = 20.0 \text{ kN/mc}$
 $V_s = 345.0 \text{ m/s}$
 $V_p = 660.0 \text{ m/s}$
 $\nu = 0.36$

Substrato geologico

LPS - Lapideo, stratificato
peso di volume
velocità onde S
velocità onde P
coefficiente di Poisson

$\gamma = 22.5 \text{ kN/mc}$
 $V_s = 975.0 \text{ m/s}$
 $V_p = 2400.0 \text{ m/s}$
 $\nu = 0.30$

Sezione G-G'



Instabilità di versante

Fq - Frana quiescente
peso di volume
velocità onde S
velocità onde P
coefficiente di Poisson

$\gamma = 19.5 \text{ kN/mc}$
 $V_s = 245.0 \text{ m/s}$
 $V_p = 555.0 \text{ m/s}$
 $\nu = 0.37$

Terreni di copertura

GP - Ghiaie pulite con granulometria poco assortita, miscela di ghiaia e sabbia (depositi alluvionali)
peso di volume
velocità onde S
velocità onde P
coefficiente di Poisson

$\gamma = 20.0 \text{ kN/mc}$
 $V_s = 345.0 \text{ m/s}$
 $V_p = 660.0 \text{ m/s}$
 $\nu = 0.36$

GM - Ghiaie limose, miscela di ghiaia, sabbia e limo (depositi alluvionali)
peso di volume
velocità onde S
velocità onde P
coefficiente di Poisson

$\gamma = 20.0 \text{ kN/mc}$
 $V_s = 345.0 \text{ m/s}$
 $V_p = 660.0 \text{ m/s}$
 $\nu = 0.36$

SM - Sabbie limose, miscela di sabbia e limo (depositi alluvionali)
peso di volume
velocità onde S
velocità onde P
coefficiente di Poisson

$\gamma = 19.0 \text{ kN/mc}$
 $V_s = 280.0 \text{ m/s}$
 $V_p = 760.0 \text{ m/s}$
 $\nu = 0.45$

Substrato geologico

LPS - Lapideo, stratificato
peso di volume
velocità onde S
velocità onde P
coefficiente di Poisson

$\gamma = 22.5 \text{ kN/mc}$
 $V_s = 975.0 \text{ m/s}$
 $V_p = 2400.0 \text{ m/s}$
 $\nu = 0.30$